

# 1株壬基酚降解菌的分离鉴定及其降解特性研究

李旭春, 刘桂芳, 马军\*, 邵晓玲

(哈尔滨工业大学市政环境工程学院, 哈尔滨 150090)

**摘要:** 从给水处理系统长期运行的颗粒活性炭上分离到1株可以以壬基酚(NP)为唯一碳源生长的好氧细菌F-10, 利用Sherlock微生物鉴定系统(MIS)分析, 初步鉴定为红球菌属中的红串红球菌。通过摇瓶实验考察了温度、pH、NP初始浓度、细菌投量、金属离子等因素对F-10降解NP性能的影响, 得出最佳降解条件是温度30℃, pH值6.0, 在该条件下, 2%菌投量对1 mg/L NP去除率达到了62%, 且降解过程满足一级动力学模型, 速率常数( $k$ )为0.0865 d<sup>-1</sup>, 半衰期( $t_{1/2}$ )为8.0 d; 此外, 菌的降解速率与NP的初始浓度关系不大, 而与菌量呈正相关; 增加溶液中NH<sub>4</sub><sup>+</sup>、Mn<sup>2+</sup>、Mg<sup>2+</sup>、NaCl浓度或加入葡萄糖、醋酸钠和酵母膏等底物对菌降解NP均有促进作用; 而Ca<sup>2+</sup>、Cu<sup>2+</sup>、Fe<sup>2+</sup>和磷酸盐的作用则相反; 同时混合菌体系的降解性能要优于纯菌。

**关键词:** 壬基酚; 生物降解; Sherlock MIS 微生物鉴定系统; 红球菌

中图分类号:X172 文献标识码:A 文章编号:0250-3301(2008)01-0231-06

## Isolation, Identification and Biodegradation Characteristics of A Bacterial Strain Able to Degrade Nonylphenol

LI Xu-chun, LIU Gui-fang, MA Jun, SHAO Xiao-ling

(School of Municipal and Environmental Engineering, Harbin Institute of Technology, Harbin 150090, China)

**Abstract:** A bacteria strain F-10 was isolated from activated carbon, which was processed with sand filtered water from Songhua River for a long time, pre-oxidized with ozone, PPC and ferrate. The bacterial strain was capable of utilizing nonylphenol (NP) as sole carbon source and identified as *Rhodococcus erythropolis* with the Sherlock Microbial Identification System (MIS) from the MIDI Corporation. The optimal conditions for NP biodegradation in the shaking flasks were at 30℃ and pH 6.0. Under those conditions, NP at concentration of 1 mg/L was biodegraded by 62% with 2% of inoculum amount. The biodegradation reaction fitted well with first-order kinetic model, with a degradation rate constants ( $k$ ) of 0.0865 d<sup>-1</sup> and half-lives ( $t_{1/2}$ ) of 8.0 d. Aerobic degradation rate for NP was enhanced by increased level of NH<sub>4</sub><sup>+</sup>, Mn<sup>2+</sup>, Mg<sup>2+</sup>, and NaCl, and by addition of glucose, NaAc, and yeast extract as well as by reduced level of Ca<sup>2+</sup>, Cu<sup>2+</sup>, Fe<sup>2+</sup>, and phosphate, while no apparent effect of original NP concentration was observed. The combination of F-10 with other 27 bacterial strains which were also isolated from activated carbon expressed better biodegradation effectiveness.

**Key words:** nonylphenol; biodegradation; Sherlock MIS; *Rhodococcus*

壬基酚(nonylphenol, NP)被认为是有代表性的环境内分泌干扰物(EDCs)和持久性有毒污染物(PTS)。大量的毒理研究表明壬基酚具有明显的雌激素效应和生物毒性, 并具有很强的生物积累性<sup>[1~8]</sup>。每年大约有400 000 t的壬基酚聚氧乙烯醚NP<sub>n</sub>EO( $n$ 一般为1~20)排放到环境中<sup>[9]</sup>, 它们经过生物降解, 生成了比母体毒性更大、疏水性更强和更难生物降解的NP<sup>[10]</sup>。目前大量的文献报道了NP对水体的污染比较严重<sup>[9,11,12]</sup>, 西班牙巴塞罗那河某段NP浓度更是高达600 μg/L<sup>[12]</sup>。水环境中高浓度NP的出现, 必将威胁人体的健康。

目前, NP逐渐成为了国内外研究的热点, 绝大多数的研究集中在探索新的NP检测手段<sup>[10]</sup>、毒理和生态环境风险评价<sup>[1~8]</sup>、环境中NP浓度分布和监测<sup>[9,12,13]</sup>、NP处理方法<sup>[14~19]</sup>。然而报道中多是采用吸附氧化等方法去除水中的NP, 对于寻求高效NP降解菌方面的研究鲜见, 国外仅有少数的学者从河

底沉积物、土壤以及污水处理厂的活性污泥中分离出能降解NP的鞘氨醇单胞菌<sup>[16~19]</sup>。国内除了台湾的Yuan等<sup>[15]</sup>从二仁溪河底沉积物中分离到1株假单胞菌, 并初步做了对NP降解特性的研究外, 尚无NP生物降解方面的报道。

本研究首次从给水处理系统长期运行的生物活性炭上分离得到1株NP高效降解菌, 并对其进行了菌种鉴定和降解效能的初步研究, 以期揭示NP生物降解的基本规律, 并为其在生物修复和水中NP去除的应用中提供一定的参考。

## 1 材料与方法

### 1.1 主要试剂与材料

收稿日期: 2007-02-04; 修订日期: 2007-05-09

基金项目: 教育部知识创新工程重大项目培育基金项目(705013)

作者简介: 李旭春(1983~), 男, 硕士研究生, 主要研究方向为给水深度处理技术, E-mail: risingsun@163.com

\* 通讯联系人, E-mail: majun@hit.edu.cn

### 1.1.1 主要试剂

壬基酚 NP(Sigma 公司, 纯度 96%); 甲醇(Dikma 公司, 色谱纯); Milli-Q 水(Millipore 公司, 电阻率  $18.2 \text{ M}\Omega\cdot\text{cm}$ ); TSB、琼脂购自 BBL 公司; 其他无机盐均为分析纯度.

### 1.1.2 主要实验设备

Waters 高效液相色谱(配自动进样器), 双波长检测器, C18 液相色谱柱; Agilent 气相色谱 6890 (GC/6890); 高速冷冻离心机(TGL-20M); 恒温空气浴摇床(哈尔滨东联电子); Finnpipett 可调移液器( $0.5 \sim 50 \mu\text{L}$ ,  $20 \sim 200 \mu\text{L}$ ,  $100 \sim 1000 \mu\text{L}$ ); 分析天平; 超声清洗器; 精密 pH 计(上海雷磁); 无菌台; 高压灭菌器.

### 1.2 细菌的富集、分离和培养

从用松花江原水与分别用臭氧、高锰酸盐复合药剂和高铁酸钾预氧化原江水长期运行的 4 根颗粒活性炭柱上各取下 5 g 活性炭, 分别放入盛有 45 mL 无菌水并带有磁子的三角瓶中, 在磁力搅拌器上搅拌 30 min, 尽量使活性炭上的细菌分散到水相中. 取菌悬液接种到事先灭菌的牛肉膏蛋白胨培养基中, 于  $30^\circ\text{C}$ ,  $140 \text{ r}/\text{min}$  空气浴恒温振荡器中培养, 每 24 h 接种 1 次, 培养 3 d 之后按 10% 菌量投加到事先灭过菌的矿质盐溶液培养基 (MSM) 中, 于  $30^\circ\text{C}$ ,  $140 \text{ r}/\text{min}$  空气浴恒温摇床中进行培养, NP 浓度按梯度投加, 依次为 100、300、500、1 000 和 2 000  $\mu\text{g}/\text{L}$ , 每次驯化培养 15 d. 最后反复接种培养、分离、纯化, 直到得到纯的单菌落. 考察各纯菌对 NP 的降解效果, 最终分离到 1 株 NP 降解菌. 将纯菌接种到斜面上, 于  $4^\circ\text{C}$  冰箱内保存.

牛肉膏蛋白胨培养基: 牛肉膏 3.0 g; 蛋白胨 10.0 g; NaCl 5.0 g; Milli-Q 水 1 000 mL; pH 值 7.4 ~ 7.6.

牛肉膏蛋白胨固体培养基: 牛肉膏 3.0 g; 蛋白胨 10.0 g; NaCl 5.0 g; 琼脂 20.0 g; Milli-Q 水 1 000 mL; pH 值 7.4 ~ 7.6.

矿质盐溶液培养基 (MSM)<sup>[20]</sup>:  $\text{K}_2\text{HPO}_4$  4.0 g;  $\text{NaH}_2\text{PO}_4$  4.0 g;  $(\text{NH}_4)_2\text{SO}_4$  2.0 g;  $\text{MgSO}_4 \cdot 7\text{H}_2\text{O}$  0.5 g;  $\text{CaCl}_2 \cdot 2\text{H}_2\text{O}$  0.01 g;  $\text{FeSO}_4 \cdot 7\text{H}_2\text{O}$  0.01 g;  $\text{MnSO}_4 \cdot 2\text{H}_2\text{O}$  0.01 g; Milli-Q 水 1 000 mL; pH 7.0.

TSBA 培养基(胰化酪蛋白大豆培养基): Trypticase Soy Broth (TSB, 购自 BBL 公司) 30 g; 琼脂(购自 BBL 公司) 15 g; 1 L 蒸馏水.

皂化试剂: 氢氧化钠(ACS 标准) 45 g; 甲醇(色谱纯) 150 mL; 去离子水 150 mL.

甲基化试剂: 盐酸 6.00 mol/L 325 mL; 甲醇(色谱纯) 275 mL.

萃取溶剂: 正己烷(色谱纯) 200 mL; 甲基叔丁基醚 MTBE(色谱纯) 200 mL.

碱洗涤剂: 氢氧化钠(ACS 标准) 10.8 g; 去离子水 900 mL.

灭菌条件: 0.1 MPa,  $121^\circ\text{C}$ , 20 min 高压蒸汽湿式灭菌.

### 1.3 菌株鉴定

细菌鉴定采用美国 MIDI 公司的 Sherlock microbial identity system (MIS) 软件系统. 将在特定培养基上纯培养的菌按照 MIDI 公司的操作规范要求进行脂肪酸的提取和分析, Sherlock MIS 软件系统会自动利用该检测结果, 定性(种类)和定量(含量)地分析微生物的脂肪酸成份并生成一个脂肪酸图谱, 利用该图谱和数据库(Library)进行比对, 鉴定未知的菌种, 该方法可将细菌鉴定到种.

### 1.4 菌悬液的制备、投加、样品的降解条件及取样

用接种环从  $4^\circ\text{C}$  保存的斜面上挑取一环细菌 F-10, 接到无菌的装有 50 mL 牛肉膏蛋白胨培养基的三角瓶中, 于  $30^\circ\text{C}$ ,  $140 \text{ r}/\text{min}$  摆床培养 24 h 至对数生长期. 然后 4 000  $\text{r}/\text{min}$  离心 10 min, 倒去上清液, 加入无菌水 (MSM) 洗涤, 再 4 000  $\text{r}/\text{min}$  离心 10 min, 倒去上清液, 反复洗涤 3 次. 将洗涤后的菌用无菌水 (MSM) 稀释至  $600\text{nm}$  吸光度 ( $A_{600\text{ nm}}$ ) 为 1.0, 制成菌悬液, 并按 2% 的菌量(体积分数)投加到灭菌的 MSM 溶液中, NP 初始浓度 ( $1.0 \pm 0.05 \text{ mg}/\text{L}$ , 初始 pH 6.0(以上操作均在无菌条件下进行), 并于  $30^\circ\text{C}$ ,  $140 \text{ r}/\text{min}$  摆床培养 10 d, 每 1 d 间隔取样检测 NP 的浓度.

### 1.5 壬基酚 NP 的定量检测

壬基酚 NP 定量检测采用 Waters 高效液相色谱 (HPLC), 色谱柱为 Waters C18 柱, Waters 2478 双波检测器, Waters 1525 泵装置, Waters 717 Plus 自动进样器. 检测条件: 检测波长 280 nm; 柱温  $30^\circ\text{C}$ ; 流动相甲醇/水为 9:1, 流速 1 mL/min; 进样量 100  $\mu\text{L}$ ,  $r^2 > 0.999$ .

样品处理: 将样品经过  $0.22 \mu\text{m}$  膜过滤后, 进高效液相色谱检测,  $r^2 > 0.99$ .

## 2 结果与讨论

### 2.1 菌的鉴定

#### 2.1.1 菌的培养特征

通过驯化筛选, 获得了 1 株能以 NP 为唯一碳源

生长的细菌,命名为菌 F-10.该菌为杆菌,无鞭毛,在固体平板培养基上,菌落成圆形,表面低凸,边缘完整,湿润,有光泽,呈淡粉色,半透明且易挑起,革兰氏染色为阳性,尺寸约为:( $1.77 \times 0.64$ ) $\mu\text{m}$ (图 1).

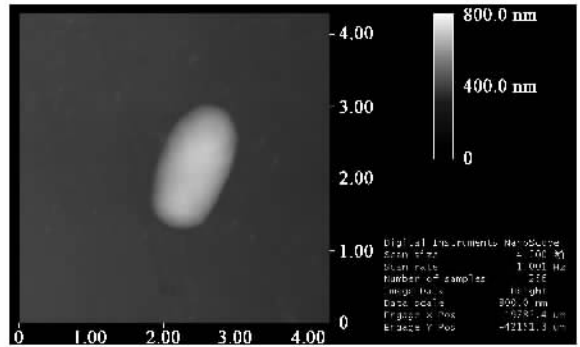


图 1 菌 F-10 的原子力显微镜照片

Fig.1 AFM photo of strain F-10

### 2.1.2 细菌的鉴定

根据 Sherlock MIS 软件系统对菌 F-10 脂肪酸定性和定量的分析生成的脂肪酸图谱,对比 Library 数据库,初步鉴定菌 F-10 为红球菌属中的红串红球菌,相似指数 SI (similarity index) 为 0.899.

### 2.2 菌 F-10 降解 NP 的效果及动力学分析

在 pH 值为 6.0 的矿质盐溶液培养基中,以 2% 的菌量接入菌 F-10 的菌悬液, NP 初始浓度为 1.0 mg/L,于 30℃, 140 r/min 摆床中培养,每 1 d 取样 1 次,样品经过处理,注入 HPLC 进行检测. 菌 F-10 对 NP 的降解随时间的变化情况见图 2. 从图 2(a)中可以看出菌 F-10 对 NP 具有较好的降解效果,10 d 后, NP 去除 59%; 15 d 后,去除率达到了 62%,基本趋于稳定,此时溶液中 NP 剩余浓度约 405 μg/L. 菌 F-10 未能将 NP 全部降解,一方面可能是溶液中 NP 剩余浓度太低,不能为菌再利用;另外,降解过程中产生的有毒或更难降解的中间产物也可能抑制菌 F-10 对 NP 的降解活性. 为了解菌 F-10 对 NP 的降解行为,研究中采用一级动力学模型对实验数据进行拟合<sup>[15, 21, 22]</sup>,动力学模型方程见公式(1)和(2),拟合结果见图 2(b).

降解动力学方程为:

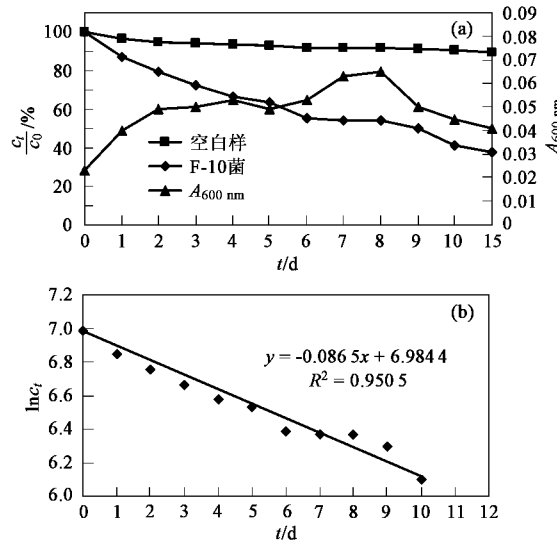
$$\ln c_t = -kt + \ln c_0 \quad (1)$$

降解率:

$$\eta = 1 - c_t/c_0 = 1 - e^{-kt} \quad (2)$$

式中,  $c_0$ 、 $c_t$  为初始和  $t$  时刻溶液中的 NP 浓度,  $\mu\text{g}/\text{L}$ ;  $k$  为 NP 降解速率的动力学常数,  $\text{d}^{-1}$ ;  $t$  为降解时间,  $\text{d}$ .

从图 2(b)中可以看出,实验数据的拟合结果很好,相关系数  $r^2 = 0.9505$ ,即菌 F-10 对 NP 的降解过程基本满足一级动力学模型. 通过计算得出菌 F-10 对 NP 的降解速率常数为  $0.0865 \text{ d}^{-1}$ , 半衰期( $t_{1/2}$ )为 8.0 d,较 Chang 等<sup>[21]</sup>得到的 NP 降解菌的速率( $k$  为  $0.010 \sim 0.015 \text{ d}^{-1}$ ,  $t_{1/2}$  为  $46.2 \sim 62.3 \text{ d}$ )快将近 8 倍,可见菌 F-10 是 1 株 NP 高效降解菌.



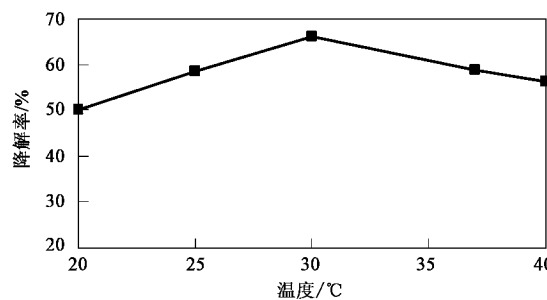
$c_0 = 1.0 \text{ mg} \cdot \text{L}^{-1}$ , 2% 菌投量,  $\text{pH} = 6.0$ , 温度为 30℃

图 2 菌 F-10 的降解效果及动力学分析

Fig.2 Effect and kinetic process of biodegradation of NP by strain F-10

### 2.3 温度对 NP 降解的影响

温度对菌的酶活性影响很大,直接影响菌的降解效果. 在 pH 值为 6.0 的矿质盐溶液培养基中,按 2% 的菌量接入菌 F-10 的菌悬液, NP 初始浓度为  $(1.0 \pm 0.05) \text{ mg/L}$ ,于不同温度下, 140 r/min 摆床培养, 10 d 后取样,样品经过处理,注入 HPLC 进行检测,结果见图 3. 从图 3 中可以看出在 20~40℃范围内,菌 F-10 对 NP 都具有较好的降解效果, NP 的去



$c_0 = (1.0 \pm 0.05) \text{ mg} \cdot \text{L}^{-1}$ , 2% 菌投量,  $\text{pH} = 6.0$ ,  $t = 10 \text{ d}$

图 3 温度对菌 F-10 降解 NP 的影响

Fig.3 Effect of temperature on NP degradation by strain F-10

除率均在 50% 以上, 在 30℃ 时菌对 NP 的降解效率最高, 达到了 66%, 这说明菌 F-10 在 30℃ 时 NP 降解酶活性最高。目前, 只有少数人研究过温度对细菌降解 NP 的影响, Ana 等<sup>[20]</sup>也证实: 10~28℃ 条件下, NP 的生物降解效率随着温度升高而有明显地提高。

#### 2.4 pH 值对 NP 降解的影响

降解基质的 pH 直接影响着菌的降解活性, 为了解 pH 对菌 F-10 降解 NP 产生的影响, 及确定最佳的 pH 降解条件, 研究中考察了 pH 4.0~10.0 菌 F-10 对 NP 的降解情况。分别将矿质盐溶液培养基的 pH 值调至 4.0、5.0、6.0、7.0、8.0、9.0、10.0, 以 2% 的菌量接入菌 F-10 的菌悬液, NP 初始浓度 ( $1.0 \pm 0.05$ ) mg/L, 于 30℃, 140 r/min 摆床培养, 每 1 d 取 1 次样, 样品经过处理, 注入 HPLC 进行检测, 结果见表 1。

从表 1 中可以看出, 菌 F-10 在 pH 4.0~10.0 范围内都有较好的降解效果, 在 pH=6.0 时效果最好, 在 pH=9.0 时, 效果最差, 其 NP 降解速率约为 pH=6.0 时的 1/4, 说明 pH 明显地影响菌 F-10 对 NP 去除, 这可能是因为菌 F-10 的 NP 降解酶在弱酸性条件下活性最强; 也可能是 NP 在酸性条件下更多的以 NP 分子形态存在, 而碱性条件下更多的以离子形态存在, 表面带负电的细菌更容易利用酸性条件下分子态 NP 的缘故。Yuan 等<sup>[15]</sup>也证实, 从河底淤泥中分离出的假单胞菌, 在 pH 6.0 时降解 NP 的效率最高。

表 1 菌 F-10 在不同 pH 值条件下对 NP 的降解动力学参数(30℃)

Table 1 NP degradation rate constants ( $k$ ) and half-lives

( $t_{1/2}$ ) at various pH value (30℃)

pH 值	$k/d^{-1}$	$t_{1/2}/d$	$r^2$
4.0	0.049	14.2	0.95
5.0	0.061	11.4	0.94
6.0	0.085	8.2	0.92
7.0	0.068	10.2	0.95
8.0	0.029	24.0	0.93
9.0	0.023	30.8	0.90
10.0	0.024	28.4	0.98

#### 2.5 NP 初始浓度和菌初始投量对降解的影响

在 pH 值为 6.0 的矿质盐溶液培养基中, 分别投加不同浓度的 NP 和菌投量, 30℃, 140 r/min 摆床培养, 每 1 d 取 1 次样, 样品经过处理, 注入 HPLC 进行检测, 结果见表 2。从表 2 可以看出, 菌 F-10 对 NP 的降解速率随目标物初始浓度的增加而稍有加快, 但变化不十分明显, 说明该菌能够适应较高 NP 浓度的环境, 具有较强地抵抗 NP 毒性和降解 NP 的能

力。同时, NP 的降解速率随着菌投量的增加而线性增加。

表 2 不同 NP 初始浓度和菌 F-10 投量的降解动力学参数(30℃)

Table 2 NP degradation rate constants ( $k$ ) and half-lives ( $t_{1/2}$ )

at various NP concentrations and inoculum amount (30℃)

NP 浓度/mg·L <sup>-1</sup>	菌投量/%	$k/d^{-1}$	$t_{1/2}/d$	$r^2$
1.0 <sup>1)</sup>	2	0.078	8.9	0.96
2.0	2	0.094	7.4	0.95
4.0	2	0.097	7.1	0.93
1.0	1	0.066	10.5	0.99
1.0	5	0.115	6.0	0.94

1) 为参照样

#### 2.6 金属离子及磷酸盐与共代谢底物对 NP 降解的影响

通常一些金属离子, 可为微生物提供重要的生长元素, 然而也存在部分金属离子, 会抑制微生物的生长并降低其代谢底物的能力。为考察金属离子和磷酸盐对菌 F-10 降解 NP 的影响, 在 pH 值为 6.0 的矿质盐溶液培养基中, 分别单独加入  $K_2HPO_4$  4.0 g/L;  $NaH_2PO_4$  4.0 g/L;  $(NH_4)_2SO_4$  2.0 g/L;  $MgSO_4 \cdot 7H_2O$  0.5 g/L;  $CaCl_2 \cdot 2H_2O$  0.01 g/L;  $FeSO_4 \cdot 7H_2O$  0.01 g/L;  $MnSO_4 \cdot 2H_2O$  0.01 g/L;  $NaCl$  1 g/L;  $CuCl_2$  0.01 g/L, 配制成不同含盐量的培养基。共代谢底物选择葡萄糖、醋酸钠和酵母膏, 投量分别为 50 mg/L, 菌投量 2%, NP 初始浓度 ( $1.0 \pm 0.05$ ) mg/L, 初始 pH 为 6.0, 于 30℃, 140 r/min 摆床培养, 每 1 d 取 1 次样, 样品经过处理, 注入 HPLC 检测, 结果见表 3。

表 3 金属离子及磷酸盐与共代谢底物

对 NP 降解的影响及动力学参数(30℃)

Table 3 Effects of minerals, phosphate and cometabolism substrate on biodegradation rate constants ( $k$ ) and half-lives ( $t_{1/2}$ ) (30℃)

添加物	$k/d^{-1}$	$t_{1/2}/d$	$r^2$
参照	0.080	8.7	0.93
$(NH_4)_2SO_4$	0.104	6.7	0.96
$MnSO_4$	0.145	4.8	0.94
$CaCl_2$	0.063	11.0	0.97
$CuCl_2$	0.069	10.0	0.99
$FeSO_4$	0.077	9.0	0.96
$MgSO_4$	0.119	5.8	0.94
$NaCl$	0.085	8.1	0.97
磷酸盐	0.073	9.5	0.97
葡萄糖	0.152	4.6	0.97
醋酸钠	0.135	5.1	0.97
酵母膏	0.131	5.3	0.95

从表 3 中可以看出, 各金属离子与磷酸盐对菌

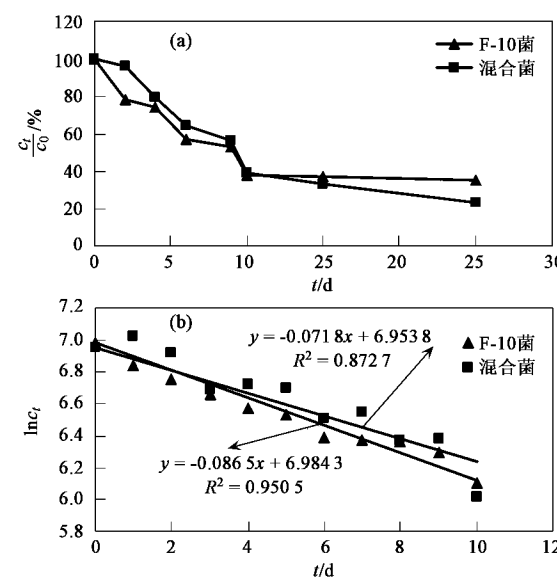
F-10 降解 NP 有比较明显的影响。 $\text{NH}_4^+$ 、 $\text{Mn}^{2+}$ 、 $\text{Mg}^{2+}$  和  $\text{NaCl}$  有促进作用, 特别是  $\text{Mn}^{2+}$  离子, 其提高了菌 F-10 近 1 倍的降解速度; 而  $\text{Ca}^{2+}$ 、 $\text{Cu}^{2+}$ 、 $\text{Fe}^{2+}$  和磷酸盐则表现为抑制作用。这可能是因为  $\text{NH}_4^+$  能为菌 F-10 提供氮源, 而  $\text{Mn}^{2+}$ 、 $\text{Mg}^{2+}$  和  $\text{NaCl}$  可能是 NP 降解酶的组成部分或者是 NP 降解酶的激活剂, 因此适当增加其浓度能提高 NP 降解酶的活性; 而较高浓度的  $\text{Ca}^{2+}$ 、 $\text{Cu}^{2+}$ 、 $\text{Fe}^{2+}$  和磷酸盐对 NP 降解酶可能有毒性, 因而其浓度过高会抑制 NP 降解酶的活性<sup>[23]</sup>。

由于 NP 是一种低溶解度和高脂溶性的难降解有机物[25℃时, 溶解度为  $(4.9 \pm 0.4) \text{ mg/L}$ ,  $\lg K_{\text{OW}} = 4.48$ ]<sup>[24]</sup>, 从共代谢角度来提高 NP 降解效率不失为一可行途径, 因此, 通过利用一种底物为细菌提供足够的碳源和能量以促进其生长, 并诱导其产生更多的 NP 降解酶, 进而促进其对 NP 的降解。从表 3 中可以看出, 葡萄糖、醋酸钠和酵母膏都具有比较好的促进作用, 其中葡萄糖效果最为明显, 可能是菌 F-10 更容易利用葡萄糖来获得碳源和能量, 以产生更多的 NP 降解酶, 进而提高了其降解 NP 的速率。Yuan 等也证实<sup>[15, 25]</sup>, 体系中有机碳源(如酵母膏)的加入能够明显地提高 NP 的降解效率。

## 2.7 混合菌对 NP 降解的影响

通常混合菌体系的组成和功能较纯菌更为复杂, 也更易适应环境。基于此, 本研究专门考察了混合菌体系对 NP 的生物降解效果。将活性炭上分离出的 28 株菌(包括菌 F-10)分别在牛肉膏蛋白胨培养基中培养至对数生长期, 然后 4 000 r/min 离心, 并用无菌水(MSM)反复洗涤 3 次, 再分别稀释至  $A_{600\text{nm}} = 1.0 \pm 0.05$  处, 并等体积混合均匀, 制成混合菌悬液。在 pH 值为 6.0 的矿质盐溶液培养基中, 以 2% 的菌量接入混合菌悬液, NP 初始浓度为 1.0 mg/L, 于 30℃, 140 r/min 摆床培养, 每 1 d 取 1 次样, 样品经过处理, 注入 HPLC 进行检测, 结果见图 4。

从图 4 中可以看出, 开始 10 d 混合菌 NP 降解率低于菌 F-10, 且前者降解 NP 的线性关系比较差, 可能是其它菌与菌 F-10 存在协同/拮抗作用<sup>[26]</sup>, 或者其它菌也能降解 NP 但不明显, 进而影响了菌 F-10 的降解性能。从图 4(b)中可以得出, 混合菌对 NP 的降解速率常数为  $k = 0.064 \text{ d}^{-1}$ , 对应的半衰期为  $t_{1/2} = 10.8 \text{ d}$ , 说明混合菌的降解速率较菌 F-10 慢, 这可能是由于混合菌中 F-10 菌量少的原因所致; 但与表 2 中投加 1% 菌量的效果相比, 混合菌降解速率要优



$$c_0 = 1.0 \text{ mg} \cdot \text{L}^{-1}, 2\% \text{ 菌投量}, \text{pH} = 6.0, \text{温度为 } 30^\circ\text{C}$$

图 4 混合菌与菌 F-10 降解效果比较

Fig.4 Comparison between mixed strains and strain F-10 on NP biodegradation effectiveness

于后者, 可见其他菌与 F-10 菌有较好的协同降解作用。10 d 后单菌 F-10 对 NP 基本不再降解, 而混合菌仍可以降解, 25 d 后降解率达到 75%, 高于单菌的 65%, 这可能是因为菌 F-10 在降解 NP 过程中产生了一些有毒的中间产物<sup>[11]</sup>, 如 2-[1-乙基-1,3-二甲基基]-1,4-苯二醇(2-[1,1,5-trimethylhexyl]-1,4-benzenediol)、4-[[(1,1,5-三甲基己烷氧基)]苯酚(4-[(1,1,5-trimethylhexyl)oxy]phenol), 抑制了菌 F-10 的活性, 而混合菌却能够降解其产生的中间产物, 进而保持菌 F-10 的活性。可见混合菌体系更有利菌 F-10 对 NP 的降解。确定混合菌体系中具体哪些菌种与菌 F-10 存在明显相互作用及作用机理, 并通过改变菌种组成等方法来提高 NP 的降解效能将是具有前景的研究方向<sup>[11]</sup>。

## 3 结论

(1) 用 NP 驯化从颗粒活性炭上分离得到的细菌, 最终筛选出 1 株 NP 好氧降解菌 F-10, 并通过 Sherlock MIS 鉴定为红球菌属中的红串红球菌。

(2) 在温度 30℃, pH 6.0 条件下, 菌 F-10 对 NP 表现出最好的降解能力, 且降解过程满足一级动力学模型, 速率常数( $k$ )为  $0.0865 \text{ d}^{-1}$ , 半衰期( $t_{1/2}$ )为 8.0 d。

(3) 菌 F-10 对 NP 的降解速率与 NP 的初始浓度

关系不大,而与菌投量呈正相关;增加溶液中  $\text{NH}_4^+$ 、 $\text{Mn}^{2+}$ 、 $\text{Mg}^{2+}$ 、 $\text{Na}^+$  离子浓度或加入葡萄糖、醋酸钠和酵母膏等底物对菌降解 NP 均有促进作用,而  $\text{Ca}^{2+}$ 、 $\text{Cu}^{2+}$ 、 $\text{Fe}^{2+}$  和磷酸盐的作用则相反;同时,混合菌体系的 NP 降解性能要优于纯菌。

### 参考文献:

- [1] Granmo A, Ekelund R, Magnusson K, et al. Lethal and sublethal toxicity of 4-nonylphenol to the common mussel (*Mytilus edulis* L.) [J]. Environmental Pollution, 1989, **59**(2): 115-127.
- [2] Ekelund R, Bergman Å, Granmo Å, et al. Bioaccumulation of 4-nonylphenol in marine animals—A re-evaluation [J]. Environmental Pollution, 1990, **64**(2): 107-120.
- [3] Soto A M, Justica H, Wray J W, et al. *p*-Nonylphenol: an estrogenic xenobiotic released from “modified” polystyrene [J]. Environmental Health Perspectives, 1991, **92**: 167-173.
- [4] Scrvos M R. Review of the aquatic toxicity, estrogenic responses and bioaccumulation of alkylphenols and alkylphenol polyethoxylates [J]. Water Quality Research Journal of Canada, 1999, **34**(1): 123-177.
- [5] Kim Y S, Katase T, Sekine S, et al. Variation in estrogenic activity among fractions of a commercial nonylphenol by high performance liquid chromatography [J]. Chemosphere, 2004, **54**(8): 1127-1134.
- [6] 范奇元, 李卫华, 申立军, 等.壬基酚对 SD 雄性大鼠生殖功能的影响 [J].卫生毒理学杂志, 2001, **15**(4): 225-226.
- [7] 梁增辉, 何世华, 孙成均, 等.引起青蛙畸形的环境内分泌干扰物的初步研究 [J].环境与健康杂志, 2002, **19**(6): 419-421.
- [8] 刘征涛, 徐静波, 杨丽, 等.有机烷酚类化合物致突变性研究 [J].环境科学研究, 2001, **14**(3): 1-3.
- [9] Isobe T, Nishiyama H, Nakashima A, et al. Distribution and behavior of nonylphenol, octylphenol, and nonylphenol monoethoxylate in Tokyo metropolitan area: their association with aquatic particles and sedimentary distributions [J]. Environ Sci Technol, 2001, **35**(6): 1041-1049.
- [10] Estevez M C, Kreuzer M, Baeza F S, et al. Analysis of Nonylphenol: Advances and Improvements in the Immunochemical Determination Using Antibodies Raised against the Technical Mixture and Hydrophilic Immunoreagents [J]. Environ Sci Technol, 2006, **40**(2): 559-568.
- [11] Corvini P F X, Schäffer A, Schlosser D. Microbial degradation of nonylphenol and other alkylphenols—our evolving view [J]. Applied and Environmental Microbiology, 2006, **72**(2): 223-243.
- [12] Sole M, Alda M J L D, Castillo M, et al. Estrogenicity Determination in Sewage Treatment plants and Surface Waters from the Catalonian Area (NE Spain) [J]. Environ Sci Technol, 2000, **34**(24): 5076-5083.
- [13] Guenther K, Heinke V, Thiele B, et al. Endocrine Disrupting Nonylphenols Are Ubiquitous in Food [J]. Environ Sci Technol, 2002, **36**(8): 1676-1680.
- [14] Deborde M, Rabouan S, Duguet J P, et al. Kinetics of Aqueous Ozone-Induced Oxidation of Some Endocrine Disruptors [J]. Environ Sci Technol, 2005, **39**(16): 6086-6092.
- [15] Yuan S Y, Yu C H, Chang B V. Biodegradation of nonylphenol in river sediment [J]. Environmental Pollution, 2004, **127**(3): 425-430.
- [16] Telscher M J, Schuller U, Schmidt B, et al. Occurrence of a nitro metabolite of a defined nonylphenol isomer in soil/sewage sludge mixtures [J]. Environ Sci Technol, 2005, **39**(20): 7896-7900.
- [17] Tanghe T, Devriese G, Verstraete W. Nonylphenol and estrogenic activity in aquatic environmental samples [J]. Journal of Environmental Quality, 1999, **28**(2): 702-709.
- [18] Corvini P F X, Hollender J, Ji R, et al. The degradation of  $\alpha$ -quaternary nonylphenol isomers by *Sphingomonas* sp. Strain TTNP3 involves a type II ipso-substitution mechanism [J]. Applied and Environmental Microbiology, 2006, **70**(1): 114-122.
- [19] De Vries Y P, Takahara Y, Ikenaga Y, et al. Organic nutrient-dependent degradation of branched nonylphenol by *Sphingomonas* sp. YT isolated from a river sediment sample [J]. Microbes and Environments, 2001, **16**(4): 240-249.
- [20] Ana S, Marika M, Benoit G, et al. Biodegradation of nonylphenol in a continuous bioreactor at low temperatures and effects on the microbial population [J]. Applied and Environmental Microbiology, 2006, **69**(5): 597-606.
- [21] Chang B V, Yu C H, Yuan S Y. Degradation of nonylphenol by anaerobic microorganisms from river sediment [J]. Chemosphere, 2004, **55**(4): 493-500.
- [22] Chang B V, Chiang F, Yuan S Y. Biodegradation of nonylphenol in sewage sludge [J]. Chemosphere, 2005, **60**(11): 1652-1659.
- [23] Giller K E, Witter E, McGrath S P. Toxicity of heavy metals to microorganisms and microbial processes in agricultural soils: a review [J]. Soil Biology Biochemistry, 1998, **30**(10-11): 1389-1414.
- [24] Brix R, Hydrt S, Carlsen L. Solubility of nonylphenol and nonylphenol ethoxylates. On the possible role of micelles [J]. Chemosphere, 2001, **44**(4): 759-763.
- [25] Yuan S Y, Chang J S, Yen J H, et al. Biodegradation of phenanthrene in river sediment [J]. Chemosphere, 2001, **43**(3): 273-278.
- [26] Tanghe T, Dhooge W, Verstraete W. Isolation of a Bacterial Strain Able To Degrade Branched Nonylphenol [J]. Applied and Environmental Microbiology, 1999, **65**(2): 746-751.